

# بررسی تأثیر سنگدانه‌های درشت بازیافتی بر دوام بتن‌های خودتراکم حاوی میکروسیلیس

حسین ساسانی پور<sup>۱\*</sup>، مصطفی حق طلب جورقانی<sup>۲</sup>، محسن تدین<sup>۳</sup> و امیر مسعود سلیمی<sup>۴</sup>

۱- مدیر فنی آزمایشگاه مرکزی شرکت مهندسین مشاور سیناب غرب

۲- عضو هیئت علمی دانشگاه ملایر - گروه عمران

۳- مدیر بخش ژئوتکنیک و مقاومت مصالح شرکت مهندسین مشاور سیناب غرب

۴- مدیر آزمایشگاه مرکزی شرکت مهندسین مشاور سیناب غرب

\*نویسنده مسئول

E-mail: [sasnipourhossein@gmail.com](mailto:sasnipourhossein@gmail.com)

تلفن: ۰۹۱۸۷۰۸۱۰۴۳

کد انجمن: کد مقاله:

چکیده:

استفاده از سنگدانه‌های بازیافتی بعنوان جایگزین سنگدانه‌های طبیعی می‌تواند روی کاهش مصرف منابع طبیعی تأثیر بگذارد. از این رو در سال‌های اخیر بررسی اثرات مثبت و منفی استفاده از این نوع سنگدانه‌ها روی بتن مورد استقبال پژوهشگران قرار گرفته است. بواسطه استفاده از سنگدانه‌های بازیافتی، برخی از خواص بتن ساخته شده با این نوع از سنگدانه‌ها مانند جذب آب، تخلخل، مقاومت الکتریکی و نفوذ یون کلر ممکن است تحت تأثیر قرار بگیرد. در این مطالعه میزان جایگزینی سنگدانه‌های بازیافتی درشت بترتیب ۲۵، ۵۰، ۷۵ و ۱۰۰٪ انتخاب گردید و تأثیر آنها روی دوام بتن‌های خودتراکم مورد ارزیابی قرار گرفت. جهت بررسی کارائی بتن، آزمایش‌های جربان اسلامپ و حلقه جی برای بتن تازه در نظر گرفته شد. آزمایش‌های مقاومت فشاری، سرعت پالس، مقاومت الکتریکی و نفوذ یون کلر برای مخلوط‌های سخت شده انجام گرفت. نتایج نشان داد که با جایگزینی سنگدانه‌های بازیافتی مقاومت فشاری بطور محسوس کاهش داشت. همچنین نتایج نشان داد که جایگزینی ۲۵٪ از سنگدانه‌های بازیافتی تأثیر قابل ملاحظه‌ای بر سرعت پالس، مقاومت الکتریکی و نفوذ یون کلر در بتن سخت شده نداشت. با این حال، با افزایش در میزان جایگزینی سنگدانه بازیافتی، دوام بتن‌های خودتراکم تحت تأثیر قرار گرفت و باعث کاهش مقاومت ویژه الکتریکی و کاهش دوام در برابر نفوذ یون کلر گردید.

واژه‌های کلیدی: بتن خودتراکم، سنگدانه‌های بازیافتی، سرعت پالس، مقاومت ویژه الکتریکی، نفوذ یون کلر، میکروسیلیس.

بدون شک بتن یکی از مواد ساختمانی پر مصرف در سال‌های اخیر شناخته شده است. با پیشرفت تکنولوژی در طراحی‌های بتن‌های خاص، پژوهشگران موفق شدند نوعی از بتن را که براحتی و تحت اثر وزن خود، در محل‌های با تراکم زیادی از میلگرد‌ها، در قالب جای میگیرد تولید کنند [1]. مزیت این نوع بتن با توجه به اینکه نیازی به تراکم ندارد، اجرای آن بدون ایجاد صدای خشن در حین بتن ریزی می‌باشد [2]. از طرفی امروزه مقدار مصالح ضایعاتی و مصالح حاصل از تخریب سازه‌ها روبه افزایش است و همچنین منابع طبیعی که در ساخت و ساز مورد استفاده قرار می‌گیرد روبه کاهش است. در این میان استفاده از سنگدانه‌های بتی بازیافت شده جهت توسعه پایدار و تولید بتن دوستدار محیط زیست از اهمیت ویژه‌ای برخوردار است [3,4]. مطالعات اخیر پژوهشگران نشان می‌دهد که علاقه به استفاده از سنگدانه‌های بتی بازیافتی در بتن‌های خودتراکم رو به افزایش است [5-7]. ملات چسبیده به سنگدانه بازیافتی باعث کاهش کیفیت سنگدانه بازیافتی، شامل افزایش جذب آب، افزایش تخلخل و کاهش مقاومت می‌گردد. و از طرفی روی خواص بتن ساخته شده که شامل بتن تازه و بتن سخت شده می‌باشد، نیز تاثیر می‌گذارد [8-10]. مطالعات بسیاری وجود دارد که نشان می‌دهد امکان ساخت بتن خودتراکم با سنگدانه‌های بازیافتی وجود دارد. این امر با کنترل نسبت آب به سیمان، استفاده مناسب از افزودنی‌های شیمیایی و معدنی و همچنین روش‌های مناسب آماده سازی قبل از مصرف سنگدانه‌های بازیافتی امکان‌پذیر است. نتایج تحقیقات نشان می‌دهد که با استفاده از هوایا و میکروسیلیس و همچنین آماده سازی سنگدانه‌های بازیافتی به روش pre-soaking می‌توان تا حدود زیادی مانع از آب انداختگی و جدا شدگی در بتن‌های خودتراکم حاوی سنگدانه‌های ریز و درشت بازیافتی شد [11-13]. میکروسیلیس بواسطه ذرات بسیار ریز خود می‌تواند در کنترل آب انداختگی و جدا شدگی بسیار موثر باشد [14]. استفاده از سنگدانه‌های بازیافتی در بتن‌های خودتراکم امکان کاهش مقاومت فشاری را فراهم می‌کند. دلیل کاهش، جذب آب بالا درنتیجه افزایش نسبت آب به سیمان، تخلخل سنگدانه‌های بازیافتی و افزایش لایه‌های مرزی ضعیف گزارش شده است. با این حال نتایج برخی از پژوهشگران نشان می‌دهد جایگزینی تا ۴۰٪ از سنگدانه‌های درشت بازیافتی تاثیر چشمگیری در کاهش مقاومت فشاری نداشته است که میتواند بدلیل اتصال مناسب سنگدانه‌های بازیافتی با خمیر سیمان، مشارکت آب داخل حفرات سنگدانه‌های بازیافتی در بهبود لایه مرزی (self-healing)، کیفیت مناسب ملات چسبیده به سنگدانه‌های بازیافتی باشد [15-18]. در موقعی نیز به این موضوع اشاره شده است که بدلیل وجود سیمان هیدراته نشده ملات روی سنگدانه‌های ریز بازیافتی امکان افزایش مقاومت فشاری، بدلیل واکنش سیمان هیدراته نشده، وجود دارد [19]. با این حال جهت بهبود کیفیت سنگدانه‌های بازیافتی مطالعات وسیعی صورت گرفته است و روش‌هایی نیز پیشنهاد شده است. این روش‌ها بصورت عملیات فیزیکی و یا شیمیایی روی سنگدانه‌های بازیافتی می‌باشند. با این نوع روش‌ها ملات چسبیده به سنگدانه حذف و یا مقاوم می‌شود [20-22]. با توجه به اینکه تخلخل بتن‌های حاوی سنگدانه‌های بازیافتی بیشتر از بتن فاقد سنگدانه‌های بازیافتی است، این موضوع باعث می‌شود دامن بتن بازیافتی تحت تاثیر قرار بگیرد [23]. با این حال با بهره‌گیری از مواد جایگزین سیمان مانند خاکستر بادی و میکروسیلیس می‌توان خواص دامنی بتن‌های بازیافتی شامل مقاومت الکتریکی و مقاومت در برابر نفوذ یون کلر را بهبود بخشید [24-26]. این مواد بدلیل ساختار بسیار ریز بعنوان پرکننده عمل میکنند و در بهبود دامن بتن بسیار موثر هستند [27]. با اشاره به این موضوع که بکارگیری مواد جایگزین سیمان می‌تواند در جهت کمک به بازیافتی بوجود آمده است.

## ضرورت پژوهش

از آنجاکه استقبال از مصرف بتن خودتراکم در دهه اخیر بسیار زیاد بود است و همچنین کارهای تحقیقاتی فراوانی روی بررسی خواص دامنی این نوع از بتن صورت گرفته است، با این حال بنظر میرسد علی رغم بررسی تاثیر سنگدانه‌های بازیافتی

روی دوام بتن معمولی، همچنان بدليل نبود مطالعات کافی بررسی تاثیر سنگدانه‌های بازیافتی روی خواص بتن خودتراکم محسوس میگردد. از طرفی هم میکروسیلیس و هم سنگدانه‌های بازیافتی محصولاتی هستند که مصرف آنها به کاهش آلودگی محیط زیست کمک قابل ملاحظه‌ای می‌نماید. از آنجا که استفاده از سنگدانه‌های بازیافتی به تهابی، اثرات منفی روی خصوصیات بتن دارد، بهره‌گیری از میکروسیلیس در جهت بهبود کیفیت در نظر گرفته شد. مقدار جایگزینی میکروسیلیس، ۸٪ درصد وزن سیمان و بنابر توصیه‌های موجود در منابع انتخاب گردید. همچنین از درشت دانه بازیافتی با جایگزینی ۲۵٪، ۷۵٪ و ۱۰۰٪ استفاده شد. در تهیه سنگدانه‌های بازیافتی از منابع‌ای مشخص مانند بتن ساختمان‌های مسکونی و بهداشتی که در آینده تخریب خواهند شد، استفاده گردید. هدف اصلی از این مطالعه، ارزیابی استفاده از سنگدانه‌های بازیافتی و کاهش اثرات منفی زیست محیطی ناشی از رها شدن ضایعات حاصل از تخریب سازه‌های بتنی مختلف می‌باشد. این مطالعه در جستجوی معرفی معمولی بتن خودتراکم بازیافتی که نیازهای یک بتن خودتراکم ساخته شده با سنگدانه‌های طبیعی را فراهم می‌کند، می‌باشد.

## ۲- برنامه آزمایشگاهی

### ۲-۱ مصالح مصرفی

در این تحقیق از سیمان پرتلند نوع ۲ کارخانه سیمان هگمتان و میکروسیلیس (SF) محصول شرکت فروسیلیس ایران که مشخصات آن در جدول شماره ۱ نشان داده شده است، استفاده گردید. از پودر سنگ (LP) با وزن مخصوص ۲/۵۸ به عنوان مصالح پودری استفاده شد. مشخصات دانه‌بندی و خصوصیات سنگدانه‌های طبیعی و بازیافتی در جدول ۲ نشان داده شده است. سنگدانه‌ها در آزمایشگاه بازیافت شدند و دانه‌های با قطر بیشتر از ۱۹ میلی‌متر بوسیله الک کردن، حذف شدند. از افزودنی فوق‌روان‌کننده (SP) بر پایه پلی‌کربوسیلات جهت دستیابی به روانی مناسب براساس توصیه‌نامه EFNARC [14] استفاده شد.

جدول ۱ : مشخصات شیمیایی، فیزیکی و مکانیکی سیمان و میکروسیلیس.

مشخصات شیمیایی	سیمان (%)	میکروسیلیس (%)	مشخصات مکانیکی
SiO <sub>2</sub>	۲۱/۲۷	۸۵-۹۵	مقاومت فشاری ملات (MPa)
CaO	۶۲/۹۵	-	روزه ۳ ۲۰/۱
Fe <sub>۲</sub> O <sub>۳</sub>	۴/۰۳	۰/۴-۲	روزه ۷ ۲۸/۲
Al <sub>۲</sub> O <sub>۳</sub>	۴/۹۵	۰/۵-۱/۷	روزه ۲۸ ۴۰/۳
MgO	۱/۵۵	۰/۱۰-۰/۹	
Na <sub>۲</sub> O	۰/۴۹	۰/۱۵-۰/۲	
K <sub>۲</sub> O	۰/۶۵	۰/۱۵-۱/۰۲	
SO <sub>۳</sub>	۲/۲۶	-	
C <sub>۲</sub> A	۶/۳	-	
LOI	۲/۱۱	۳/۵	
مشخصات فیزیکی			
وزن مخصوص	۳-۳/۱	۲/۲۱	
سطح ویژه (cm <sup>۲</sup> /gr)	۲۹۱۰	۱۴۰۰	
زمان گیرش(min)	۱۵۴ - اولیه	-	
	۱۹۵ - نهایی	-	

جدول شماره ۲: مشخصات دانه بندی و خصوصیات سنگدانه‌های طبیعی و بازیافته.

اندازه الک (mm)	درصد عبوری (%)					
	CNA.	CRA.	FNA.	CNA.	CRA.	FNA.
۱۹	۱۰۰	۱۰۰	۱۰۰			وزن مخصوص
۱۲/۵	۳۵/۴	۷۳/۹	۱۰۰	۲/۶۳	۲/۳۹	۲/۵۸
۹/۵	۱/۴۳	۴۷/۹	۱۰۰			مدول نرمی
۶/۳۵	۰/۵۳	۲۱/۳	۱۰۰	-	-	۳/۷
۴/۷۵	۰/۴۸	۶/۶	۹۹			
۲/۳۶	۰/۴۶	۰/۸۴	۶۴			جذب آب
۱/۱۸	۰/۴۵	۰/۳۹	۳۳/۹	۱/۷	۵/۴	۲/۱
۰/۶	۰/۴۴	۰/۲۲	۱۷/۶			
۰/۳	۰/۴۳	۰/۱۵	۹/۹			
۰/۱۵	۰/۲۳	۰/۱۰	۵/۷			
۰/۰۷۵	۰/۱۵	۰/۰۷	۴/۷			

CNA: ماسه طبیعی، CRA: شن بازیافته، FNA: شن طبیعی

## ۲-۲ نسبت‌های اختلاط

در طرح‌های اختلاط بتن خودتراکم از نسبت آب به سیمان ۰/۴۰ و عیار مواد سیمانی ۴۲۰ کیلوگرم در هر مترمکعب استفاده شده است. ضمناً با توجه به توصیه‌نامه EFNARC از میکروسیلیس جهت دستیابی به بتن خودتراکم بدون آب انداختگی و جداشدگی استفاده شده است. در جدول ۳ مقادیر اجزای طرح اختلاط و مقاومت فشاری نشان داده شده است. نتایج نشان داد که همه طرح‌های ساخته شده بر اساس توصیه نامه EFNARC شرایط مناسبی داشتند و فاقد هرگونه جداشدگی و یا آب انداختگی بودند. نتایج خصوصیات تازه بتن خودتراکم در جدول شماره ۴ نشان داده شده است.

جدول شماره ۳: مقادیر اجزای طرح اختلاط بتن‌های خودتراکم.

گروه طرح‌ها	کد طرح	نسبت آب به سیمان	ماسه شن	پودر شن	میکروسیلیس سنگ	فوق روان- کننده (%)	مقاومت فشاری (مگاپاسکال)				
کیلوگرم بر متر مکعب											
طرح مرجع	SS		۵۲۶/۲	۱۰۳۲/۵	-	۱/۰۰	۵۶/۷				
طرح‌های بازیافته	SS۲۵C		۴۰۱/۴	۱۰۳۲/۴	۱۱۹/۵	۱/۰۰	۳۹/۲				
	SS۵۰C	۰/۴	۱۶۸	۳۸۶/۴	۲۶۳/۱	۱۰۳۲/۴	۲۳۹/۱	۱۷۲	۳۳/۶	۱/۰۹	۳۶/۸
	SS۷۵C				۱۳۱/۶	۱۰۳۲/۴	۳۵۸/۷		۱/۰۰	۳۵/۲	
	SS۱۰۰C				-	۱۰۳۲/۴	۴۷۸/۲		۱/۰۰	۳۳/۴	

جدول شماره ۴: خصوصیات بتن‌های تازه خودتراکم.

گروه طرح‌ها	کد طرح	جریان اسلامپ (میلی متر)	T۵۰ (ثانیه)	T final (ثانیه)	J-ring (میلی متر)	J-ring (میلی متر)	فوق روان- کننده (%)	EFNARC [14]
طرح مرجع	SS	۶۰۰	۴/۹	۲۹	۵۸۰	۲	۱/۰۰	Yes
طرح‌های بازیافته	SS۲۵C	۶۲۵	۵/۰	۲۸	۵۸۵	۲	۱/۰۰	Yes
	SS۵۰C	۶۱۰	۴/۱	۲۹	۵۹۵	۳	۱/۰۹	Yes
	SS۷۵C	۶۰۰	۳/۲	۲۷	۵۹۰	۴	۱/۰۰	Yes
	SS۱۰۰C	۶۱۰	۴/۹	۲۲	۵۹۰	۲	۱/۰۰	Yes

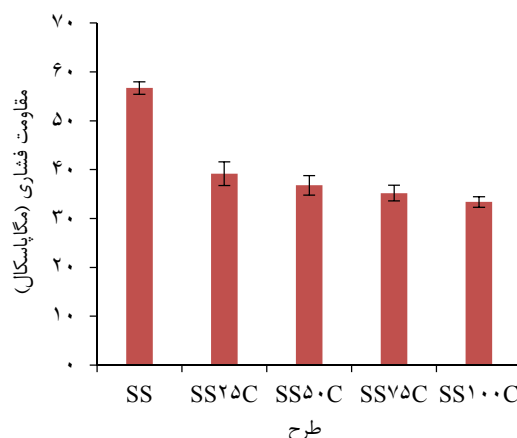
### ۲-۳ برنامه آزمایشگاهی

آزمایش مقاومت فشاری روی آزمونهای مکعبی ۱۰۰ میلی‌متر انجام شد. آزمایش اندازه‌گیری سرعت پالس براساس استاندارد ASTM C۵۹۷ [28] روی نمونه‌های مکعبی با ابعاد ۱۰۰ میلی‌متر در سنین ۳، ۷، ۱۱، ۱۴ و ۲۸ و ۲۵ روز انجام شد. آزمایش اندازه‌گیری مقاومت الکتریکی روی نمونه‌های مکعبی با ابعاد ۱۰۰ میلی‌متر در سنین ۳، ۷، ۱۱، ۱۴ و ۲۸ و ۲۵ روز انجام شد. جهت بررسی مقاومت طرحها در برابر نفوذ یون کلر آزمایش Rapid chloride penetration test براساس ASTM C ۱۲۰۲ [29] روی آزمونهای استوانه‌ای ۱۰۰×۵۰ میلی‌متر اخذ شده از نمونه‌های استوانه‌ای ۱۰۰×۲۰۰ انجام شد.

### ۳ نتایج و بحث

#### ۳-۱ مقاومت فشاری

نتایج نشان داد که با جایگزینی سنگدانه‌های بازیافتی مقاومت فشاری نسبت به طرح مرجع کاهش داشت (شکل ۱). در بسیاری از مراجع ذکر شده است که بدلیل تشکیل لایه انتقالی ضعیف، تشکیل ترک در فرآیند تهیه سنگدانه‌های بازیافتی و از طرفی تخلخل موجود بواسطه ملات چسبیده به سنگدانه‌های بازیافتی، امکان کاهش مقاومت وجود دارد [5, 17, 30, 31]. ریز ساختار بتن ساخته شده با سنگدانه بازیافتی متفاوت تر از ساختار بتن ساخته شده با سنگدانه‌های طبیعی است. در واقع با ورود سنگدانه‌های بازیافتی تعداد لایه‌های مرزی افزایش می‌یابد. در بتن بازیافتی سه لایه انتقالی تعریف می‌شود: ۱) لایه انتقالی بین ملات قدیم و ملات جدید ۲) لایه انتقالی بین سنگدانه و ملات قدیم و احتمالاً ۳) لایه انتقالی بین سنگدانه و ملات جدید. از آنجا که محل لایه انتقالی ضعیف ترین بخش ساختاری بتن است و همچنین ساختار متخلخل سنگدانه‌های بازیافتی امری انکار ناشدنی است، انتظار کاهش مقاومت در این نوع بتن‌ها وجود دارد. با این حال بسته به نوع سنگدانه‌های بازیافتی و خصوصیات بتن مرجع که سنگدانه از آن بازیافت شده است امکان کاهش یا افزایش مقاومت مشاهده شده است [13, 32].

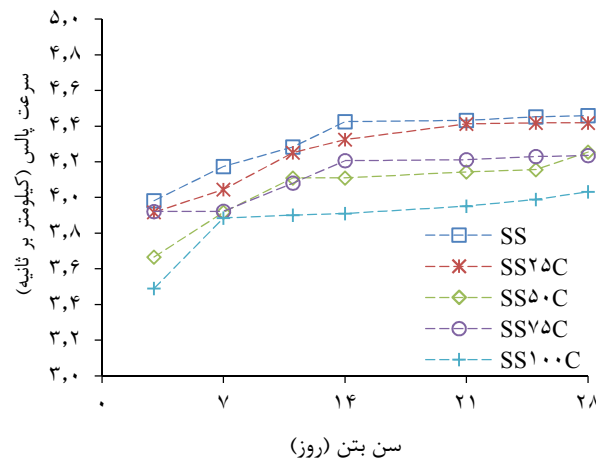


شکل ۱: مقاومت فشاری طرح‌های اختلاط بتن‌های خودتراکم.

#### ۳-۲ سرعت پالس

نتایج آزمایش سرعت پالس در شکل ۲ نشان داد که با جایگزینی سنگدانه‌های بازیافتی سرعت پالس در بتن سخت شده کاهش یافت. کاهش سرعت پالس برای جایگزینی ۲۵، ۵۰، ۷۵ و ۱۰۰٪ سنگدانه بازیافتی نسبت به طرح مرجع SS به ترتیب ۹، ۴/۶، ۹ و ۱۰ ثبت شد. بطور کلی با افزایش در تخلخل سرعت پالس کاهش می‌یابد. همچنین سرعت پالس تابع خصوصیات لایه مرزی و دانسیته بتن می‌باشد [16, 33]. بنظر می‌رسد عامل کاهش سرعت پالس در بتن‌های حاوی سنگدانه بازیافتی نیز تخلخل موجود در این نوع از سنگدانه‌ها و همچنین لایه مرزی ضعیف در محل اتصال سنگدانه به خمیر سیمان باشد. نتایج مشابهی در سایر

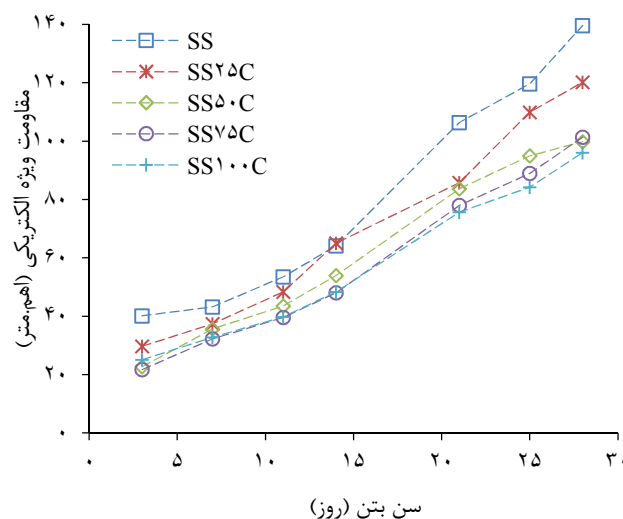
تحقیقات مشاهده شده است که با جایگزینی سنگدانه‌های بازیافتی سرعت پالس کاهش نشان داده است [16,18]. با این حال نتایج نشان داد که همه طرح‌ها دارای کیفیت قابل قبول (fair quality) بودند [34].



شکل ۲: نتایج آزمایش سرعت پالس در سنین مختلف.

### ۳-۳ مقاومت الکتریکی به روش حجمی

نتایج آزمایش مقاومت الکتریکی در شکل ۳ نشان داد که با جایگزینی ۲۵، ۵۰، ۷۵ و ۱۰۰٪ درشت دانه بازیافتی مقاومت الکتریکی به ترتیب نسبت به طرح مرجع SS ۱۴، ۲۹، ۲۷ و ۳۱٪ کاهش داشت. جریان الکتریکی از محیط‌های متخلخل براحتی عبور می‌کند [35] و بدلیل این که تخلخل در سنگدانه بازیافتی بیشتر از سنگدانه طبیعی می‌باشد انتظار می‌رود مقاومت الکتریکی بتن‌های بازیافتی کاهش یابد. نتایج مشابهی نیز در این زمینه مشاهده شده است [24]. از آنجا که مقاومت الکتریکی یکی از روش‌های تخمین مقاومت بتن در برابر خوردگی است [36]، با افزایش مقاومت الکتریکی بتن بنظر میرسد دوام در برابر خوردگی نیز افزایش یابد. در برخی مراجع مقاومت الکتریکی کمتر از  $\Omega\text{-m}^{-2}$  و در برخی مراجع دیگر مقاومت الکتریکی کمتر از  $\Omega\text{-m}^{-1}$  مرز خطرناک جهت بروز خوردگی سازه‌های بتونی معروفی شده است. با این حال می‌توان مشاهده کرد که در این مطالعه با جایگزینی سنگدانه‌های بازیافتی، مقاومت ویژه الکتریکی طرح‌های حاوی سنگدانه بازیافتی در موقعیت مناسبی قرار دارند.



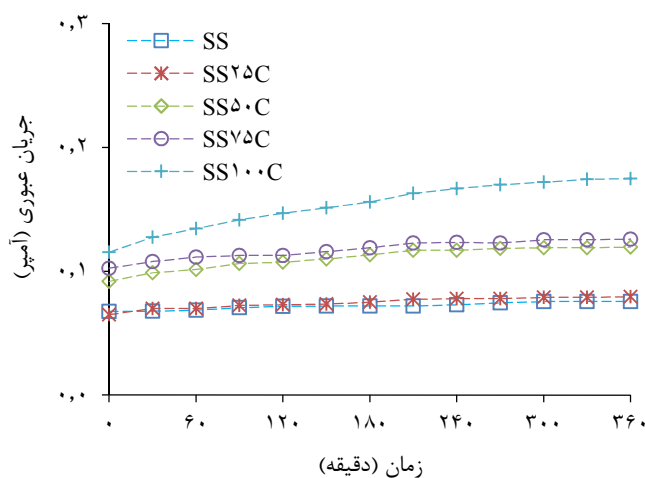
شکل ۳: نتایج آزمایش مقاومت الکتریکی در سنین مختلف.

#### ۳-۴ مقاومت در برابر نفوذ یون کلر

خلاصه نتایج آزمایش نفوذ یون کلر بر اساس ASTM C1202 در سن ۲۸ روز در جدول شماره ۵ نشان داده شده است. با جایگزینی سنگدانه‌های درشت بازیافتی بیش از ۲۵٪ سطح زیر منحنی جریان عبوری نسبت به زمان که نشان دهنده شار عبوری می‌باشد، افزایش یافته است (شکل ۴). براساس استاندارد ۱۲۰۲ ASTM هرچه میزان شار عبوری افزایش یابد مقاومت بتن در برابر نفوذ یون کلر کاهش می‌یابد. علت افزایش شار عبوری در بتن‌های بازیافتی معطوف می‌شود به ساختار متخلخل ملاتی که سنگدانه را احاطه کرده است. تخلخل ملات باعث تسهیل در افزایش نفوذ یون کلر می‌گردد [26]. نتایج نشان می‌دهد که با جایگزینی ۲۵٪ درشت دانه بازیافتی رده نفوذپذیری تغییر نکرده است و تنها حدود ۲٪ در مقدار شار عبوری افزایش مشاهده می‌گردد. با جایگزینی سنگدانه بازیافتی به میزان ۵۰، ۷۵ و ۱۰۰٪ شار عبوری ۵۱، ۶۳ و ۱۰۹٪ افزایش داشت. البته نمی‌توان تاثیر مثبت میکرو سیلیس را در این مطالعه نادیده گرفت. میکرو سیلیس میتواند تا حد زیادی در کاهش و کنترل نفوذ یون کلر موثر باشد. دلیل این می‌تواند بهبود تخلخل موجود در سطح سنگدانه‌ها بواسطه تشکیل مقادیر بیشتری از هیدرات‌های سیلیکات کلسیم بواسطه حضور میکروسیلیس باشد [26].

جدول شماره ۵: نتایج آزمایش نفوذ یون کلر (RCPT) در بتن‌های سخت شده.

ردیبندی نفوذ یون کلر براساس ASTM C1202	شار عبوری (کلومب)	کد طرح	گروه طرح‌ها
کم	۱۴۲۹	SS	طرح مرجع
کم	۱۴۵۵	SS25C	طرح‌های بازیافتی
متوسط	۲۱۵۲	SS50C	
متوسط	۲۳۳۰	SS75C	
متوسط	۲۹۸۹	SS100C	



شکل ۴: افزایش سطح زیر منحنی بواسطه استفاده از سنگدانه بازیافتی.

نتیجه گیری:

براساس تحقیقات بعمل آمده در این مطالعه، موارد زیر بعنوان نتایج ارائه می‌گردد:

- ۱- بواسطه وجود تخلخل و افزایش تعداد لایه‌های انتقالی ضعیف در بتن‌های حاوی سنگدانه‌های بازیافته مقاومت فشاری بتن‌های ساخته شده با این سنگدانه‌ها کاهش یافت. بهر حال مقاومت فشاری این نوع بتن‌ها قابل قبول است و در موارد سازه‌ای قابل مصرف می‌باشد.
- ۲- بدلیل تخلخل در سنگدانه‌های بازیافته امکان کاهش سرعت پالس وجود دارد. با این حال کاهش سرعت پالس بسیار ناچیز و قابل چشم پوشی است و همه طرح‌ها دارای کیفیت مناسبی بودند.
- ۳- جایگزینی ۲۵٪ از سنگدانه‌های بازیافته تاثیر چشمگیری بر کاهش مقاومت الکتریکی و افزایش شار عبوری طرح‌ها نداشت. بواسطه تخلخل موجود در سنگدانه‌های بازیافته با افزایش جایگزینی، مقاومت الکتریکی کاهش و شار عبوری افزایش داشت. بهر حال همه طرح‌ها دارای مقاومت الکتریکی مناسبی بودند.

## References

- [۱] Loukili A. Self-compacting concrete. John Wiley & Sons, Inc. www.wiley.com; ۲۰۱۱.
- [۲] Kebaïli O, Mouret M, Arabi N, Cassagnabère F. Adverse effect of the mass substitution of natural aggregates by air-dried recycled concrete aggregates on the self-compacting ability of concrete : evidence and analysis through an example. *J Clean Prod* ۲۰۱۵;۸۷:۷۵۲–۶۱.  
doi:10.1016/j.jclepro.2014.10.077.
- [۳] González-Taboada I, González-Fonteboa B, Eiras-López J, Rojo-López G. Tools for the study of self-compacting recycled concrete fresh behaviour: Workability and rheology. *J Clean Prod* 2017;156:1–18. doi:10.1016/j.jclepro.2017.04.045.
- [۴] Guo Z, Tu A, Chen C, Lehman DE. Mechanical properties, durability, and life-cycle assessment of concrete building blocks incorporating recycled concrete aggregates. *J Clean Prod* ۲۰۱۸;۱۹۹:۱۳۶–۴۹. doi:10.1016/j.jclepro.2018.07.069.
- [۵] Aslani F, Ma G, Yim Wan DL, Muselin G. Development of high-performance self-compacting concrete using waste recycled concrete aggregates and rubber granules. *J Clean Prod* 2018;182:553–66. doi:10.1016/j.jclepro.2018.02.074.
- [۶] Omrane M, Kenai S, Kadri EH, Aït-Mokhtar A. Performance and durability of self compacting concrete using recycled concrete aggregates and natural pozzolan. *J Clean Prod* ۲۰۱۷.  
doi:10.1016/j.jclepro.2017.07.139.
- [۷] Uygunoglu T, Topçu B, Gürhan A. Use of waste marble and recycled aggregates in self-compacting concrete for environmental sustainability. *J Clean Prod* ۲۰۱۴;xxx:۱–۱۰.  
doi:10.1016/j.jclepro.2014.06.019.
- [۸] Pin K, Ashraf W, Cao Y. Properties of recycled concrete aggregate and their influence in new concrete production. *Resour Conserv Recycl* ۲۰۱۸;133:۳۰–۴۹.  
doi:10.1016/j.resconrec.2018.02.005.
- [۹] Sagoe-Crentsil KK, Brown T, Taylor AH. Performance of concrete made with commercially produced coarse recycled concrete aggregate. *Cem Concr Res* ۲۰۰۱. doi:10.1016/S0008-8846(00)00476-2.
- [۱۰] Eng RSR, Loo YH. Recycled concrete as fine and coarse aggregates in concrete. *Mag Concr Res* ۱۹۸۷;۳۹:۲۱۴–۲۰.
- [۱۱] Güneyisi E, Gesoglu M, Algın Z, Yazıcı H. Rheological and fresh properties of self-

- compacting concretes containing coarse and fine recycled concrete aggregates. *Constr Build Mater* 2016;113:622–30. doi:10.1016/j.conbuildmat.2016.03.073.
- [12] Kou SC, Poon CS. Properties of self-compacting concrete prepared with coarse and fine recycled concrete aggregates. *Cem Concr Compos* 2009;31:622–7. doi:10.1016/j.cemconcomp.2009.06.005.
- [13] Nili M, Sasanipour H, Aslani F. The Effect of Fine and Coarse Recycled Aggregates on Fresh and Mechanical Properties of Self-Compacting Concrete. *Materials (Basel)* 2019;12:1–19. doi:10.3390/ma1207112.
- [14] EFNARC. Specification and Guidelines for Self-Compacting Concrete. Farnham, Surrey GU1 7EN, UK, Website [Www.EfnarcOrg](http://www.efnarc.org), ISBN 2002. doi:0 9539733 4 4.
- [15] Etxeberria M, Vázquez E, Marí A, Barra M. Influence of amount of recycled coarse aggregates and production process on properties of recycled aggregate concrete. *Cem Concr Res* 2007. doi:10.1016/j.cemconres.2007.02.002.
- [16] Tuyan M, Mardani-aghabaglu A, Ramyar K. Freeze – thaw resistance , mechanical and transport properties of self-consolidating concrete incorporating coarse recycled concrete aggregate. *Mater Des* 2014;52:982–91. doi:10.1016/j.matdes.2013.07.100.
- [17] Grdic ZJ, Toplicic-Curcic GA, Despotovic IM, Ristic NS. Properties of self-compacting concrete prepared with coarse recycled concrete aggregate. *Constr Build Mater* 2011. doi:10.22918/hel.3229141d.
- [18] Kwan WH, Ramli M, Kam KJ, Sulieman MZ. Influence of the amount of recycled coarse aggregate in concrete design and durability properties. *Constr Build Mater* 2012. doi:10.1016/j.conbuildmat.2011.06.059.
- [19] Evangelista L, De Brito J. Mechanical behaviour of concrete made with fine recycled concrete aggregates. *Cem Concr Compos* 2007;29:397–401. doi:10.1016/j.cemconcomp.2006.12.004.
- [20] Tam VWY, Tam CM. Diversifying two-stage mixing approach (TSMA) for recycled aggregate concrete: TSMA<sub>s</sub> and TSMA<sub>c</sub>. *Constr Build Mater* 2008;22:2068–77. doi:10.1016/j.conbuildmat.2007.07.024.
- [21] Shi C, Li Y, Zhang J, Li W, Chong L, Xie Z. Performance enhancement of recycled concrete aggregate - A review. *J Clean Prod* 2019. doi:10.1016/j.jclepro.2018.08.057.
- [22] Spaeth V, Djerbi Tegguer A. Improvement of recycled concrete aggregate properties by polymer treatments. *Int J Sustain Built Environ* 2013. doi:10.1016/j.ijsbe.2014.03.003.
- [23] Debieb F, Courard L, Kenai S, Degeimbre R. Mechanical and durability properties of concrete using contaminated recycled aggregates. *Cem Concr Compos* 2010;32:421–6. doi:10.1016/j.cemconcomp.2010.03.004.
- [24] Santos SA, Brito J De, Raposeiro P. Durability evaluation of self-compacting concrete with recycled aggregates from the precast industry. *Mag Concr Res* 2018;1–18.
- [25] Kou SC, Poon CS. Enhancing the durability properties of concrete prepared with coarse recycled aggregate. *Constr Build Mater* 2012;35:69–76. doi:10.1016/j.conbuildmat.2012.02.022.
- [26] Kapoor K, Singh SP, D B. Durability of self-compacting concrete made with Recycled Concrete Aggregates and mineral admixtures. *Constr Build Mater* 2019;128:67–76. doi:10.1016/j.conbuildmat.2019.01.026.
- [27] Yazıcı H. The effect of silica fume and high-volume Class C fly ash on mechanical properties, chloride penetration and freeze–thaw resistance of self-compacting concrete. *Constr Build Mater* 2007;22:456–62. doi:10.1016/j.conbuildmat.2007.01.002.
- [28] ASTM C597. Standard Test Method for Pulse Velocity Through Concrete 1989:4–7.
- [29] ASTM C1202. Standard Test Method for Electrical Indication of Concrete's Ability to Resist Chloride Ion Penetration. 2016. doi:10.1520/C1202-12.2.
- [30] Silva YF, Robayo RA, Matthey PE, Delvasto S. Properties of self-compacting concrete on fresh and hardened with residue of masonry and recycled concrete. *Constr Build Mater* 2016;124:639–44. doi:10.1016/j.conbuildmat.2016.07.057.
- [31] MD.Safiuddin, Salam MA, Jumaat MZ. Effects of recycled concrete aggregate on the fresh properties of self-consolidating concrete. *Arch Civ Mech Eng* 2011;11:1022–41. doi:10.1016/S1644-9695(12)60092-4.
- [32] Poon CS, Shui ZH, Lam L. Effect of microstructure of ITZ on compressive strength of

- concrete prepared with recycled aggregates. *Constr Build Mater* 2009; doi:10.1016/j.conbuildmat.2009.03.005.
- [33] Jain A, Kathuria A, Kumar A, Verma Y, Murari K. Combined use of non-destructive tests for assessment of strength of concrete in structure. *Procedia Eng* 2013;54:241–51. doi:10.1016/j.proeng.2013.03.022.
- [34] Malhotra VM, Carino NJ. Nondestructive testing of concrete. CRC PRESS; 2007.
- [35] Sengul O. Use of electrical resistivity as an indicator for durability. *Constr Build Mater* 2014;73:434–41. doi:10.1016/j.conbuildmat.2014.09.077.
- [36] Lübeck A, Gastaldini ALG, Barin DS, Siqueira HC. Compressive strength and electrical properties of concrete with white Portland cement and blast-furnace slag. *Cem Concr Compos* 2012;34:392–9. doi:10.1016/j.cemconcomp.2011.11.017.